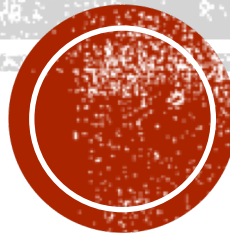


INFLATION FROM HIGHER DIMENSIONS

Based on Phys. Rev. D96 (2017) 123530 with Sergei V. Ketov



首都大学東京大学院 物理学専攻
高エネルギー理論研究室 博士後期課程3年
中田 洋

この発表の目的

- 重力・宇宙論の諸問題へのアプローチとしての修正重力理論を紹介する。
- 高次元時空における修正重力理論に基づくインフレーションモデルと、モデルへの制限を紹介する。



CONTENTS

1. Introduction
2. 修正重力理論の例 : Starobinsky model
3. 高次元修正重力理論
4. 8次元修正重力理論
5. まとめ
6. Future work



物理学者の目標

- 『物質』とその間に働く『力』の法則を解き明かし、できるだけ簡潔に(美しく)説明する: 統一理論の完成
 - ・・・超弦理論(10次元)、M理論(11次元)
- 宇宙がどう始まり、この先どうなっていくかを説明する。
 - ・・・ビッグバン宇宙論 + インフレーション
 - + ダークエネルギー
 - + ダークマター
- あわよくば統一理論で宇宙の全てを...



余剰次元はなぜ見えないのか？

超弦理論/M理論では時空は10 or 11次元である必要がある。
しかし、我々は時間+3次元空間の4次元時空しか知覚できていない。

→ 何らかの機構により余剰次元は見えなくなっている？

Kaluza-Klein理論： 余剰次元が小さく閉じていて見えない

Brane worldモデル： 標準模型の素粒子が3次元の膜の上でしか運動できない



EINSTEINの重力理論

Einsteinは1905年に特殊相対性理論、
1915年に『時空の幾何学』としての重力理論である一般相対性理論を発表した。
この理論により、時空そのものも動的な物理的対象となった。

$$\text{作用} : S = \frac{1}{\kappa^2} \int d^4x \sqrt{-g} (R - 2\Lambda) + S_m$$

→ Einstein方程式: $R_{\mu\nu} - \frac{1}{2} R g_{\mu\nu} + \Lambda g_{\mu\nu} = \kappa^2 T_{\mu\nu}$

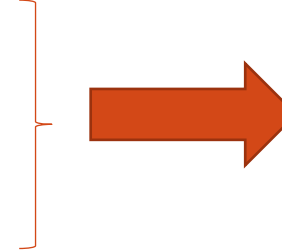
時空の幾何学

物質の分布



ビッグバン宇宙論

- Freidmannは『一様等方性』を仮定して宇宙膨張・収縮を記述する方程式を導出
- Hubbleの銀河の観測により宇宙膨張の発見



宇宙は高温・高密度の小さい
『火の玉』から始まった?

ビッグバン宇宙論

観測技術の発展に伴い

- 宇宙の加速膨張の発見・・・ダークエネルギー
宇宙の大規模構造・・・ダークマター

平坦性問題
地平性問題
(なぜ宇宙は膨張した?)



宇宙初期の指數関数的膨張:
インフレーション理論

新しい物質が必要?

or

重力理論の修正が必要?



修正重力理論の例: STAROBINSKYモデル

- 修正重力理論とは、宇宙論の諸問題を解決するためにEinsteinの重力理論を修正した理論。
- 修正重力理論は新しい場を導入することなくその効果を時空の**幾何学的性質**として取り込むことができる。

Starobinskyモデル:

$$S_{st} = \frac{1}{\kappa^2} \int d^4x \sqrt{-g} \left[R + \frac{1}{6M^2} R^2 \right]$$



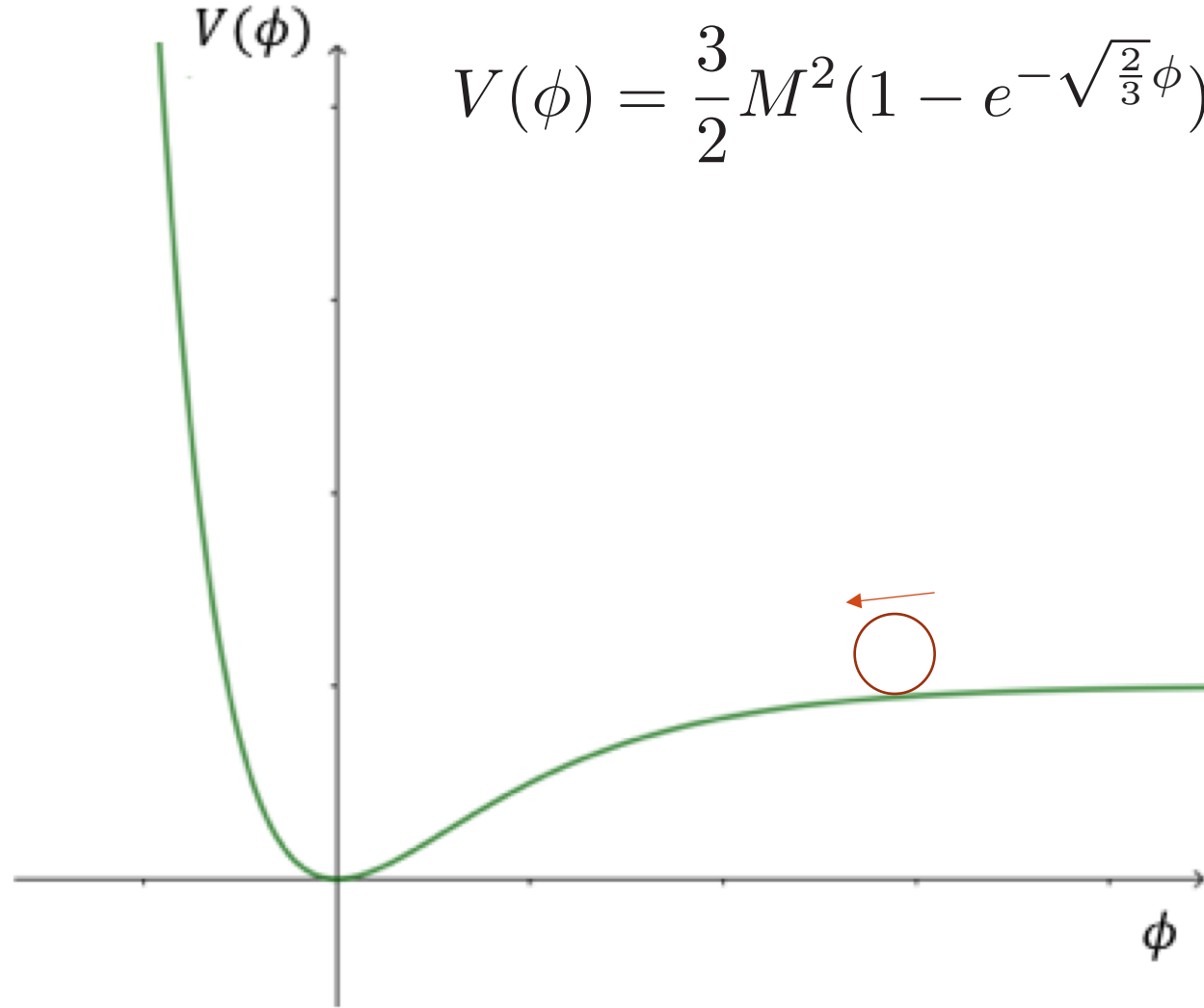
Weyl変換:

$$g_{\mu\nu} = \Omega^{-2}(x) \tilde{g}_{\mu\nu}$$

$$S_{st} = \frac{1}{\kappa^2} \int d^4x \sqrt{-\tilde{g}} \tilde{R} + \int d^4x \sqrt{-\tilde{g}} \left[-\frac{1}{2} \tilde{g}^{\mu\nu} \partial_\mu \phi \partial_\nu \phi - V(\phi) \right]$$



STAROBINSKYモデルのポテンシャル



観測からの制限：

$\phi \gg 1$ (平坦部分)で
インフレーションが起
こるとすると

$$V(\phi) \approx V_0 - V_1 e^{-\alpha\phi}, \quad \boxed{\alpha = \sqrt{\frac{2}{3}}}$$

スカラー・テンソル比は

$$r = \frac{8}{\alpha^2 N_e^2} \quad N_e = 50 \sim 60$$

e-folding number

$$\rightarrow r \sim 0.048$$

より、観測からの制限 $r < 0.08$
を満たす



高次元時空における修正重力理論

我々はStarobinskyモデルを一般化した修正重力理論と、理論への制限を導出した①
: S.V.Ketov, H.N (2017)

その後、p階反対称テンソル場を加えたモデルに拡張された②
: S. P. Otero, F. G. Pedro and C. Wieck(2017)

$$S_D = \frac{M_D^{D-2}}{2} \int d^D X \sqrt{-g} [R + \gamma_D R^n - 2\Lambda] \quad ①$$

$$+ g^{\mu_1 \nu_1} g^{\mu_2 \nu_2} \dots g^{\mu_p \nu_p} F_{\mu_1 \mu_2 \dots \mu_p} F_{\nu_1 \nu_2 \dots \nu_p}] \quad ②$$



① Starobinsky型のinflationを実現するために

実スカラー場である： 次元Dは4の倍数

ポテンシャルが平坦な部分を持つ： $n = \frac{D}{2}$

インフラトンの質量が正である： $\Lambda > 0$ でなければならない

② 余剰次元のコンパクト化、体積の安定化のためにp階反対称テンソル場を導入。 安定化するポテンシャルを構成するには

$$p = n$$

でなければならない



8次元修正重力理論

モデルへの制限を踏まえ、8次元の修正重力理論のインフレーションモデルを導出する：

$$S = \frac{M_8^6}{2} \int d^8 X \sqrt{-g_8} [R_8 + \gamma_8 R_8^4 - 2\Lambda_8 - g^{A_1 B_1} g^{A_2 B_2} g^{A_3 B_3} g^{A_4 B_4} F_{A_1 A_2 A_3 A_4} F_{B_1 B_2 B_3 B_4}]$$

Weyl変換→コンパクト化→Weyl変換

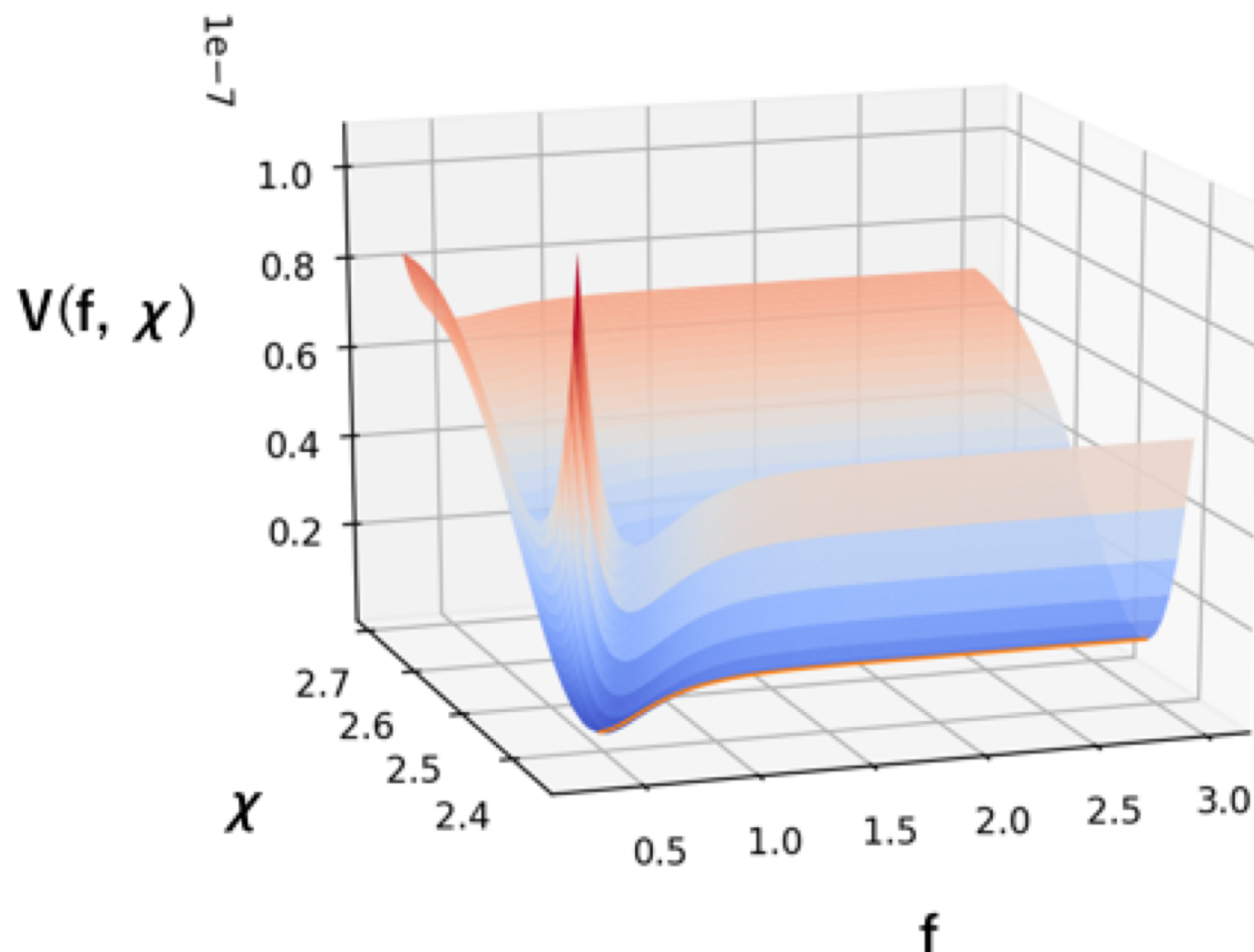


$$S_4[\hat{g}_{\alpha\beta}, \chi, f] = \frac{M_{Pl}^2}{2} \int d^4 x \sqrt{-\hat{g}} [\hat{R} - 12\hat{g}^{\alpha\beta}\partial_\alpha\chi\partial_\beta\chi - 42\hat{g}^{\alpha\beta}\partial_\alpha f\partial_\beta f - M_{Pl}^2 V(\chi, f)]$$



8次元修正重力理論から導出したポテンシャル

$$V(\chi, f) = [a^{-2}(1 - e^{-6f})^{\frac{4}{3}} + 2\tilde{\Lambda}_8 e^{-8f}]e^{-4\chi} - 2e^{-6\chi} + F^2 e^{-12\chi}$$



f 方向 : Starobinsky型の
インフレーション

χ 方向 : 余剰次元の体積
の安定化

$$f \text{ を規格化すると, } \alpha = \sqrt{\frac{6}{7}}$$

$$\rightarrow r \sim 0.037$$



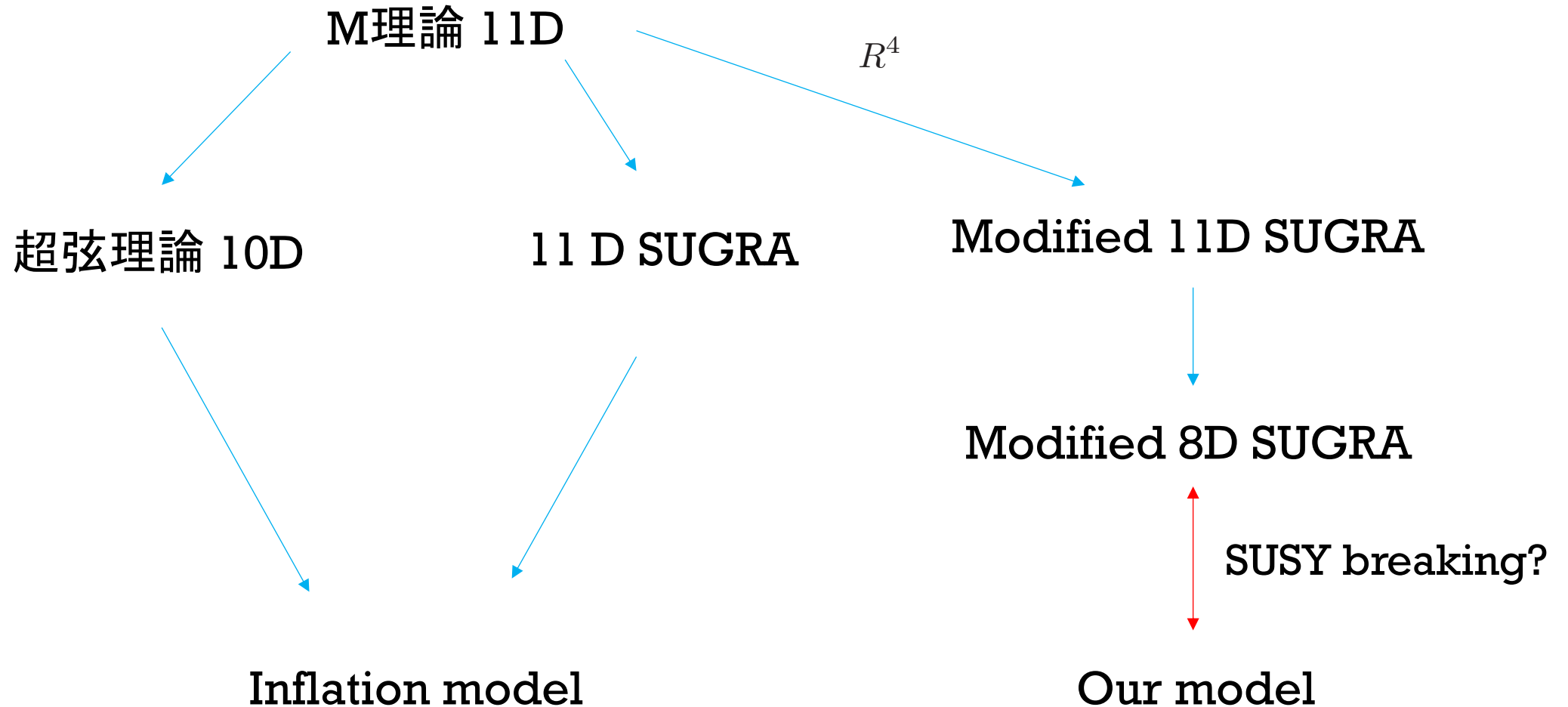
まとめ

- Starobinskyモデルを高次元時空で一般化した修正重力理論では、
 - (1) D が4の倍数
 - (2) $n = D/2$
 - (3) $\Lambda > 0$

コンパクト化のため p 階反対称テンソル場を加えたモデルでは、 $p=n$ である必要がある。
- $D=4$ のモデルは4次元のStarobinskyモデルよりよく観測からの制限を満たす。



FUTURE WORK



ご静聴ありがとうございました！

